

INT v.s. FP: A Comprehensive Study of Fine-Grained Low-bit Quantization Formats

저자: Mengzhao Chen¹², Meng Wu³, Hui Jin², Zhihang Yuan², Jing Liu²,
Chaoyi Zhang², Yunshui Li², Jie Huang², Jin Ma², Zeyue Xue¹, Zhiheng
Liu¹, Xingyan Bin^{2†}, Ping Luo^{1†}

소속 : ¹ The University of Hong Kong, ² ByteDance Seed, ³ PicoHeart

비고 : † Corresponding authors

Introduction

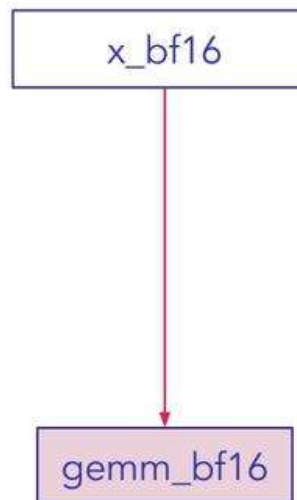
- 대규모 언어 모델(LLM)과 양자화의 중요성
 - LLM 확산으로 계산량·메모리 요구량 폭증 → 효율적 배포를 위해 양자화는 필수 기술
 - Transformer 기반 LLM에서는 **강한 Outlier 활성화** 분포가 저정밀도에서 큰 문제를 유발
 - Outlier의 폭넓은 동적 범위를 처리하기 위해 업계는 **FP8·FP4 등의 저정밀 부동소수점(FP)** 채택 가속화
 - 예: NVIDIA Blackwell 아키텍처는 FP가 INT보다 Outlier 대응에 안정적이라 강조
- 현재 논의의 한계
 - 업계는 **FP 우위를 당연시**하지만 FP vs INT의 장단점을 **양자화 단위(granularity)**별로 체계적으로 비교한 연구 부족
→ 특히 **미세 블록(fine-grained)** 환경에서 두 형식의 성능·효율 트레이드오프는 아직 명확히 규명되지 않음

Introduction

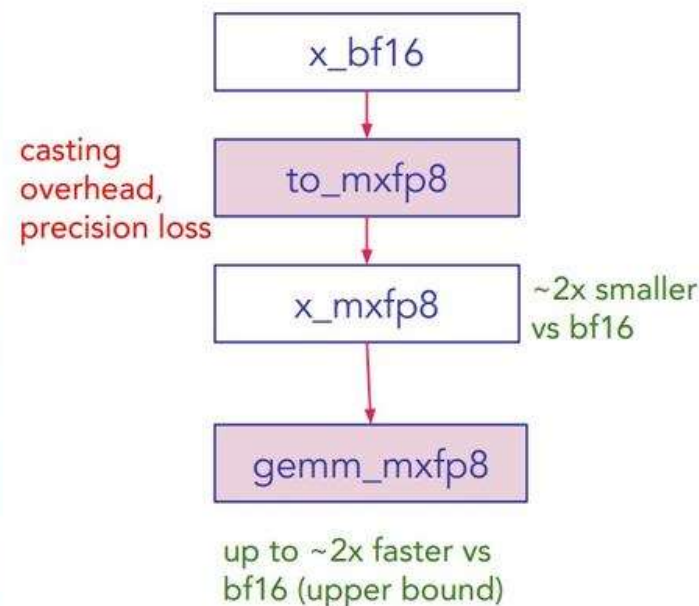
- 실증적 발견
 - 그러나 블록 단위가 작아질수록:
 - 블록 내부의 동적 범위가 축소
 - INT의 균일 정밀도(uniform precision) 효과가 크게 강화
 - 결국 INT 형식이 FP 형식을 능가하는 '교차 지점(crossover point)' 존재
 - Microscaling(MX, 32 elements) 및 NVIDIA(NV, 16 elements) 방식 모두에서 동일한 현상 관찰
- 정량적 비교를 위해 대응 관계 재정의
 - 기존 FP 형식(MXFP8, MXFP6, MXFP4, NVFP4)에 상응하는 INT 형식(MXINT8, MXINT6, MXINT4, NVINT4)을 새롭게 정의 및 비교

Introduction

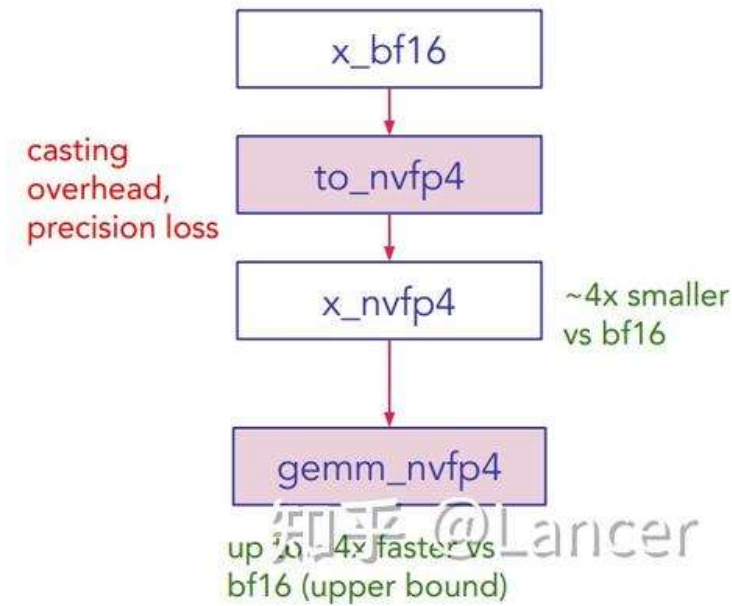
bf16 (baseline)



mxfp8

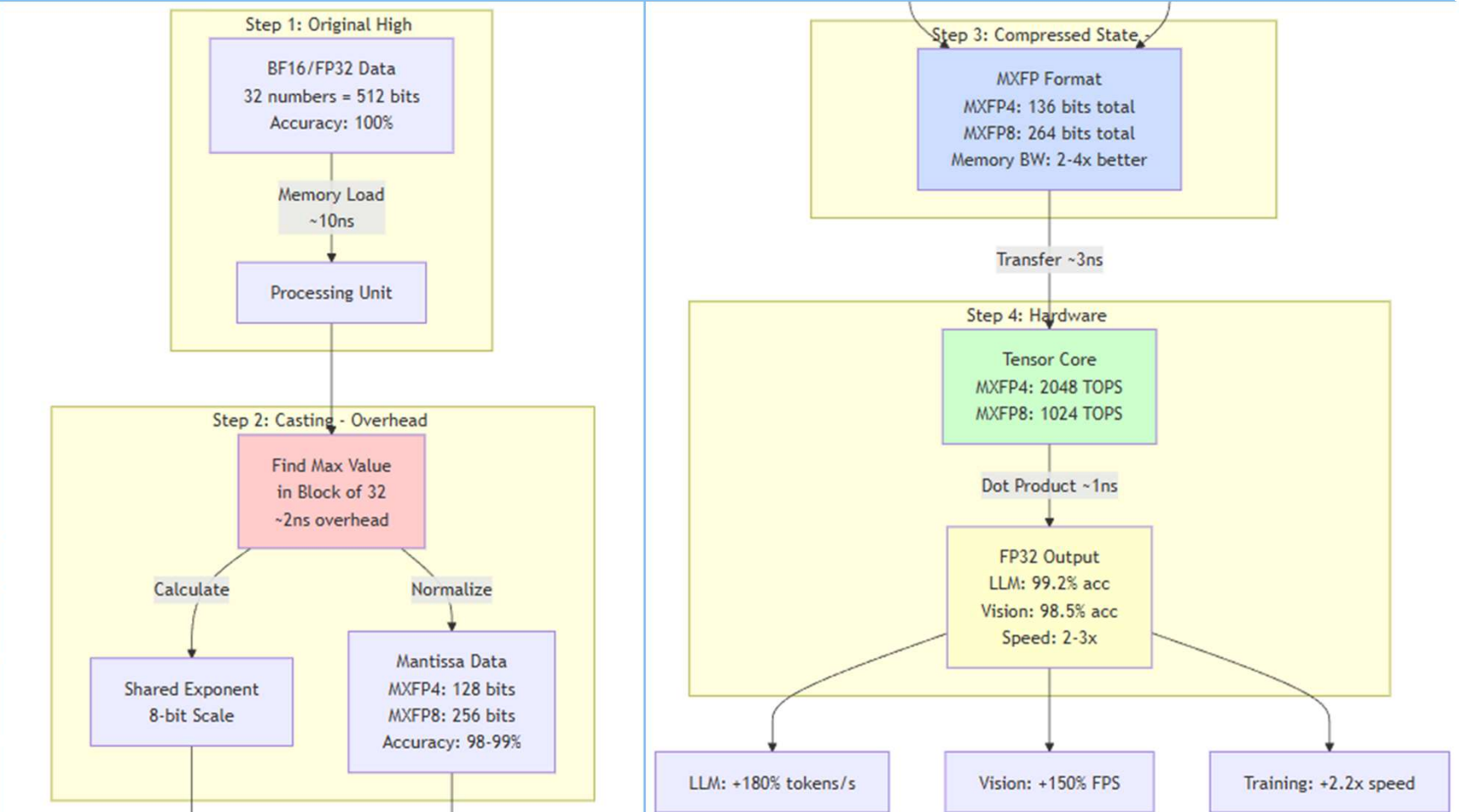


nvfp4 (mxfp4 is similar)



AI @Lancer

Introduction



Introduction

- FP 및 INT의 Quantization SNR(QSNR) 이론·통계 프레임워크 제안
 - 양자화 형식·블록 크기·비트 폭 간의 성능 트레이드오프를 수학적으로 직접 비교
 - 교차 지점(crossover point) 정량 규명
- 실험적 우위 입증
 - MXINT8이 inference 및 low-bit training 모두에서 MXFP8을 일관적으로 능가
 - NVINT4 + Hadamard rotation이 NVFP4보다 우수
 - 대칭 클리핑(symmetric clipping)을 새롭게 도입해 MXINT8 low-bit training에서 성능 손실 최소화
- 하드웨어 비용 분석
 - 동일한 처리량 기준에서 fine-grained INT가 FP 대비 칩 면적·에너지 측면에서 훨씬 우수
- 종합 결론
 - 현재의 FP 중심 하드웨어 설계 방향은 최적이 아님
 - 차세대 AI 가속기 설계에서는 미세 블록 기반 INT 형식이 정확도·효율 측면에서 더 바람직한 선택지

양자화 기초 및 Granularity (Quantization Basics)

- 양자화(Quantization)의 정의:
 - 고정밀도 텐서 \mathbf{X} 를 저비트로 변환하는 과정
 - **INT Quant**

$$\mathbf{X}_q = \text{clip} \left(\left\lfloor \frac{\mathbf{X}}{s} \right\rfloor, Q_{\min}, Q_{\max} \right) \cdot s, \quad Q_{\min} = -2^{b-1}, \quad Q_{\max} = 2^{b-1} - 1.$$

- **FP Quant**

$$\mathcal{C}_{FP} = \begin{cases} (-1)^s \times (1.m)_2 \times 2^{e - \text{bias}} & \text{if } e \neq 0 \text{ (Normal),} \\ (-1)^s \times (0.m)_2 \times 2^{1 - \text{bias}} & \text{if } e = 0, m \neq 0 \text{ (Subnormal),} \end{cases} \quad (2)$$

$$\mathbf{X}_q = \text{Nearest} \left(\frac{\mathbf{X}}{s}, \mathcal{C}_{FP} \right) \cdot s, \quad (3)$$

INT Quant

- 비트수: 8-bit signed
 - $Q_{min} = -2^{b-1} = -128, Q_{max} = 2^{b-1} = 128$
 - 스케일: $s = 0.01$
 - 입력 값: $X = -2.5$

$$\mathbf{X}_q = \text{clip}\left(\left\lfloor \frac{\mathbf{X}}{s} \right\rfloor, Q_{\min}, Q_{\max}\right) \cdot s, \quad (1)$$

$$Q_{\min} = -2^{b-1}, \quad Q_{\max} = 2^{b-1} - 1.$$

INT Quant

1. 스케일로 나누기

- $\frac{x}{s} = \frac{-2.5}{0.01} = -250$

2. 반올림

- $\text{round}(-250) = -250$

3. 정수 범위로 클리핑

- $Q_{min} = -128, Q_{max} = 128$
- $\text{Clip}(-250, -128, 127) = -128$

4. 다시 실수영역으로 복원 (dequantize)

- $x_q^{INT8} = -128 \cdot 0.01 = -1.28$

FP Quant

1. 동일하게 스케일로 나누기

- $\frac{x}{s} = \frac{-2.5}{0.01} = -250$

2. FP8(E4M3)에서 표현 가능한 값들(일부만 예시)

- $c_{FP} \in \dots, -224, -240, \dots$

3. -250에서 가장 가까운 값 찾기

- $\text{Nearest}(c_{FP}) = -240$

4. 다시 스케일을 곱해 복원 (dequantize)

- $x_q^{INT8} = -240 \cdot 0.01 = -2.4$

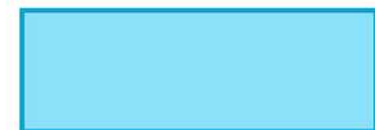
양자화 기초 및 Granularity (Quantization Basics)

- Granularity (양자화 단위):

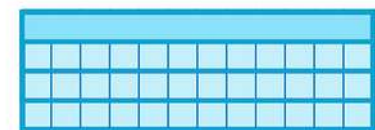
- 스케일(s)을 얼마나 세밀하게 적용하는가?
- Per-tensor: 텐서 전체 1개 스케일 (단순하지만 부정확)
- Per-channel: 채널당 1개 (일반적)
- Block-k (핵심):
→ 저비트에서 정확도 핵심.

텐서를 $1 \times k$ 조각으로 나눠 블록마다 스케일 적용

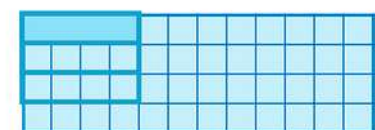
Per-Tensor:



Per-Channel:



Per-Group:



최신 저비트 블록 포맷 (Microscaling Formats)

- OCP Microscaling (MX) 포맷:
 - **특징:** 블록 크기 **32**, 공유 스케일 **UE8M0** 사용
 - **UE8M0:** 지수 8비트, 가수 0비트로 구성된 8비트 unsigned floating-point 형식
 - **FP 변형 (NVIDIA 지원):** MXFP8 (E4M3), MXFP6, MXFP4
 - *Note:* 가수(Mantissa) 비트가 많은 포맷(E4M3, E2M3)이 성능에 유리
- NVIDIA (NV) 포맷:
 - **특징:** 블록 크기 **16**, 스케일 **E4M3** + 2차 스케일(Per-tensor) 도입
 - **FP 변형:** NVFP4 (더 세밀한 블록)
- 본 연구의 접근 (Fair Comparison):
 - FP에 대응하는 **INT 변형**을 정의하여 직접 비교 수행
 - **New INT Formats:** MXINT8, MXINT6, MXINT4, NVINT4

최신 저비트 블록 포맷 (Microscaling Formats)

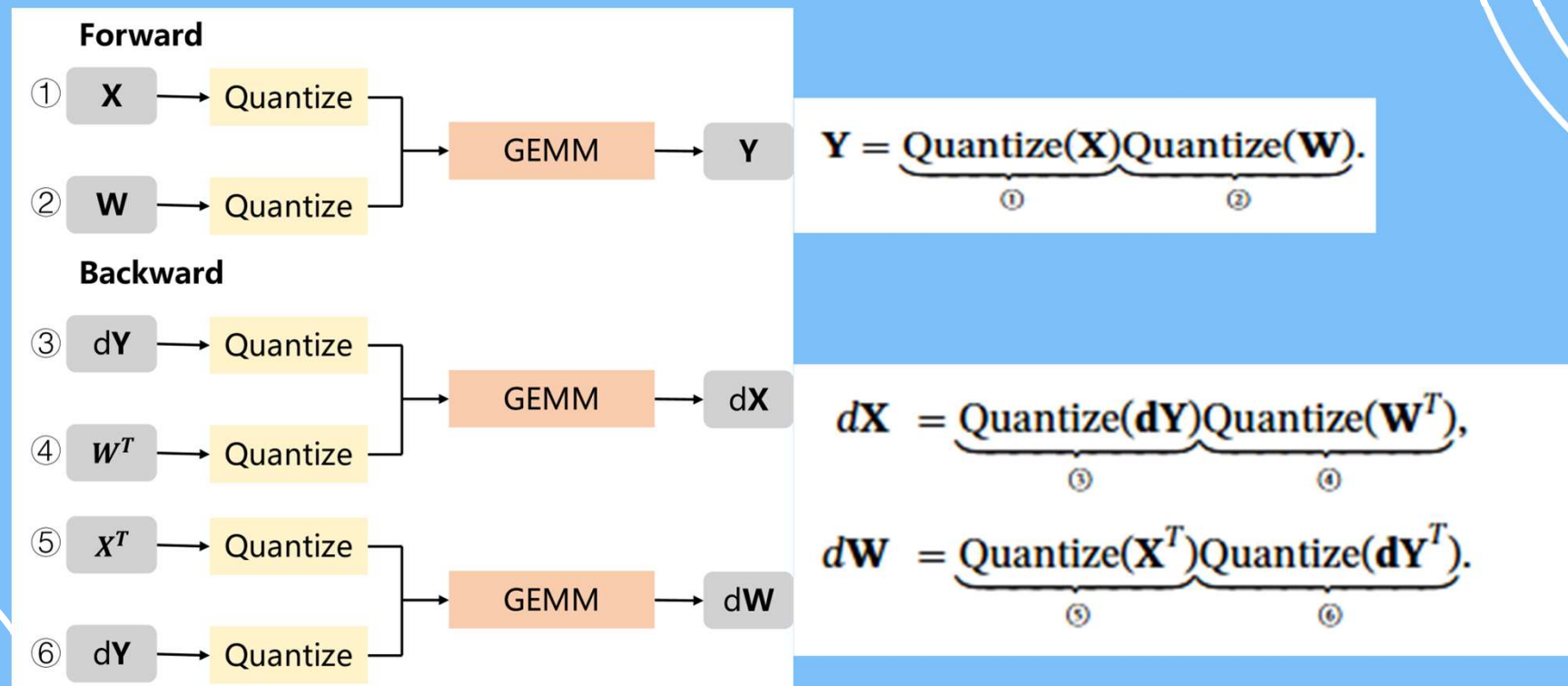
표 1: 저비트(low-bit) 형식의 명칭, 표현 가능한 값 범위, 그리고 스케일 구성 요소

Format	Block Size	Max Value	Min Value	Dynamic Range	Scale-1	Scale-2
MXFP8 (E4M3)	32	± 448	$\pm 2^{-9}$	1.75×2^{17}	UE8M0	-
MXINT8	32	127	1	127	UE8M0	-
MXFP6 (E2M3)	32	± 7.5	± 0.125	60	UE8M0	-
MXINT6	32	± 31	± 1	31	UE8M0	-
MXFP4 (E2M1)	32	± 6	± 0.5	12	UE8M0	-
MXINT4	32	± 7	± 1	7	UE8M0	-
NVFP4	16	± 6	± 0.5	12	E4M3	FP32
NVINT4	16	± 7	± 1	7	E4M3	FP32

저비트 연산 흐름 (Quantization Compute Flow)

- Forward(순전파)와 Backward(역전파) 모두 저비트로 수행
 - Forward (2회): 입력(X)과 가중치(W) 양자화 → Y 계산
 - Backward (4회): 그래디언트(dY)와 전치된 가중치(w^T), 입력(x^T) 등 양자화 → dX , dW 계산
- Total 6 Quantizations:
 - ① X, ② W, ③ dY , ④ W^T , ⑤ X^T , ⑥ dY^T
- GEMM(General Matrix Multiply, 일반행렬곱) 연산 가속을 위해 각 텐서는 Reduction 차원(Axis)을 따라 블록 양자화됨

저비트 연산 흐름 (Quantization Compute Flow)



스케일링 및 대칭 클리핑

- 1. Scale Factor: "Round-Down" vs "Round-Up"

- **Standard AbsMax Scale:**

$$s = \frac{\text{AbsMax}(\mathbf{X})}{Q_{max}},$$

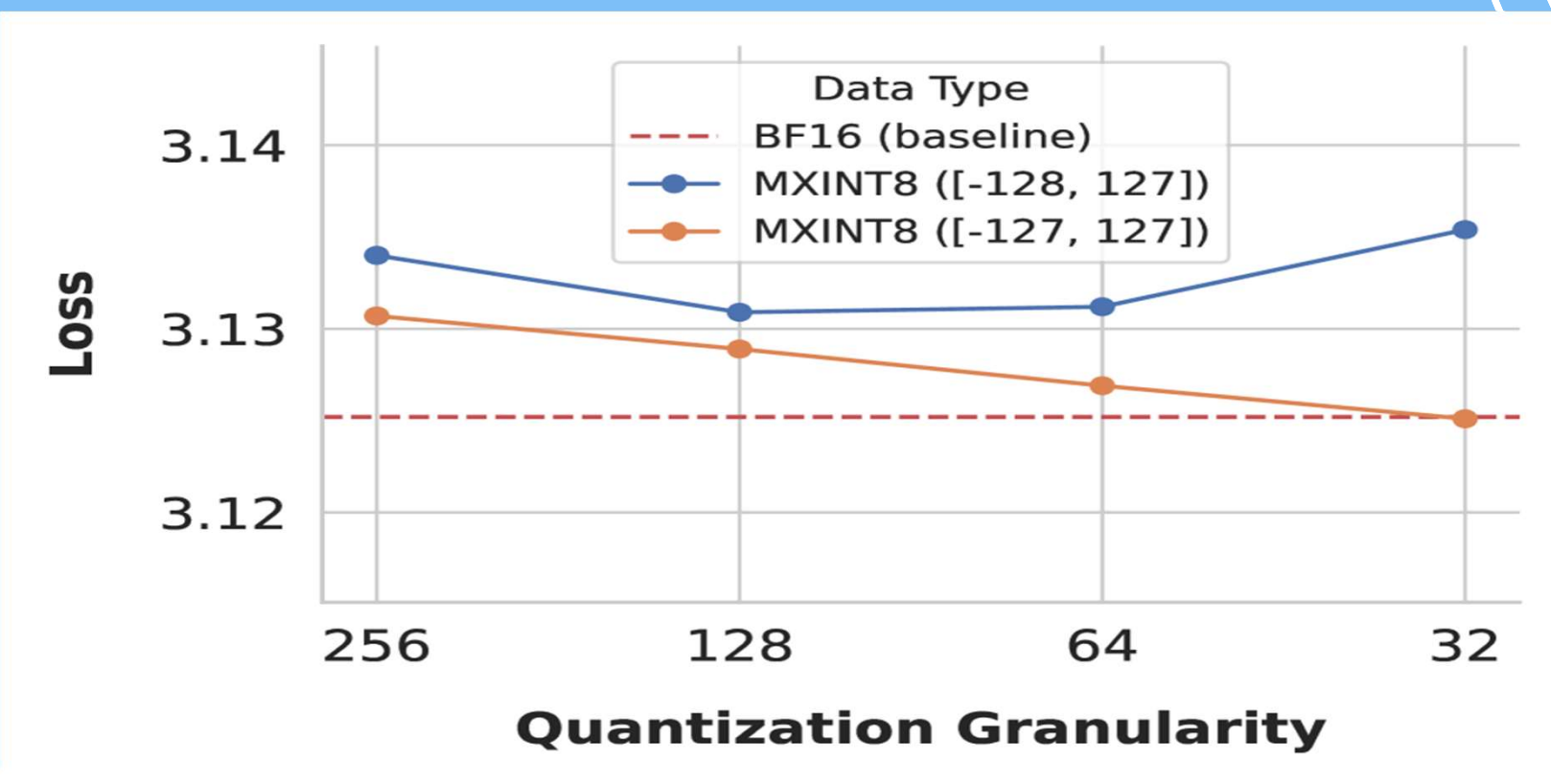
- The Issue (OCP Style): 로그 스케일 변환 시 내림(Floor, $\lfloor \cdot \rfloor$) 적용 → 스케일이 작아져 Overflow 발생위험

$$s' = 2^{\text{clip}(\lfloor \log_2(\text{AbsMax}(\mathbf{X})) \rfloor - \lfloor \log_2(Q_{max}) \rfloor, -127, 127)},$$

- Our Proposal (Round-Up): 올림(Ceil, $\lceil \cdot \rceil$) 적용 → 스케일을 키워 Clipping Error 방지

$$s' = 2^{\text{clip}(\lceil \log_2(s) \rceil, -127, 127)},$$

스케일링 및 대칭 클리핑



이론적 분석 - QSNR 모델링 (Theoretical QSNR)

1. Why QSNR? (QSNR을 사용하는 이유)

- 공통 척도 필요: 구조가 다른 INT(균일 간격)와 FP(비균일 간격)의 수치적 충실도(**Numerical Fidelity**)를 직접 비교하기 위함
- 정의: 원본 신호(X) 대비 양자화 잡음($X - X_q$)의 비율 (dB 단위)

$$QSNR = -10 \log_{10} \left(\frac{\|X - X_q\|^2}{\|X\|^2} \right)$$

- 의미: QSNR이 높을수록 양자화된 벡터가 **원본의 크기와 방향을 더 잘 보존함**을 의미함

이론적 분석 - QSNR 모델링 (Theoretical QSNR)

2. 핵심 변수: Crest Factor (k)

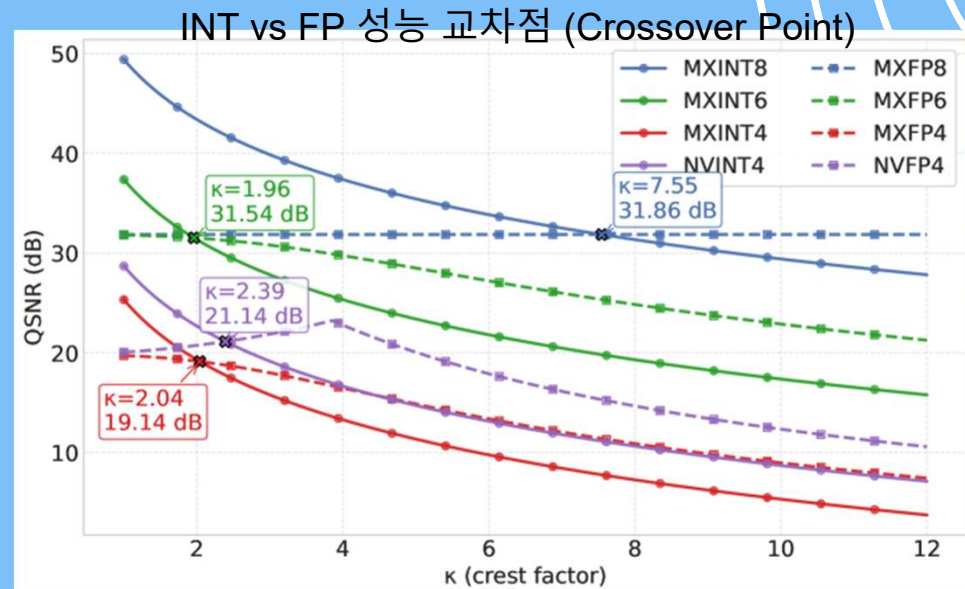
- 정의: $k = \frac{\max |X|}{\sigma}$ (데이터의 아웃라이어 강도)
- INT의 특성: k가 커지면(Outlier 증가) 성능이 급격히 하락 ($-20\log_{10}k$)
- FP의 특성: 지수(Exponent) 덕분에 k에 강건하지만, **Mantissa 비트 수(M)**가 성능 상한을 제한함
- 유도된 공식 (Simplified):
 - INT: $QSNR \approx C_1 \cdot b - 20\log_{10}k$ (Outlier에 민감)
 - FP: $QSNR \approx C_2 \cdot M$ (Mantissa에 의존, Outlier에 강건)

구체적인 예시 (왜 성능 상한이 걸리는가?)

- FP4 (E2M1) 포맷을 예로 들어보겠습니다. 가수(M)가 1비트입니다. 이 포맷은 숫자를 표현할 때 유효숫자를 딱 2개(1.0 또는 1.5)밖에 못 가집니다.
- 상황: 데이터가 1.2345라고 가정합니다.
- 지수(Exponent): 크기(10^0 근처)는 잘 맞춥니다. (k 해결)
- 가수(Mantissa): 그런데 눈금이 부족해서 1.0 아니면 1.5로만 저장해야 합니다.
 - 결국 1.2345는 1.0이나 1.5로 강제 변환되면서 엄청난 오차가 생깁니다.
 - 이 오차는 지수를 아무리 잘 조절해도 줄일 수 없는 태생적인 한계입니다.
- 결론: FP는 큰 컵(Exponent)을 가지고 있어서 물(Outlier)을 훌리지 않고 잘 담는다. 하지만 컵 안에 눈금(Mantissa)이 거의 없어서, 물이 정확히 몇 ml인지는 대충밖에 모른다.

성능 교차점 분석 (Crossover Point Analysis)

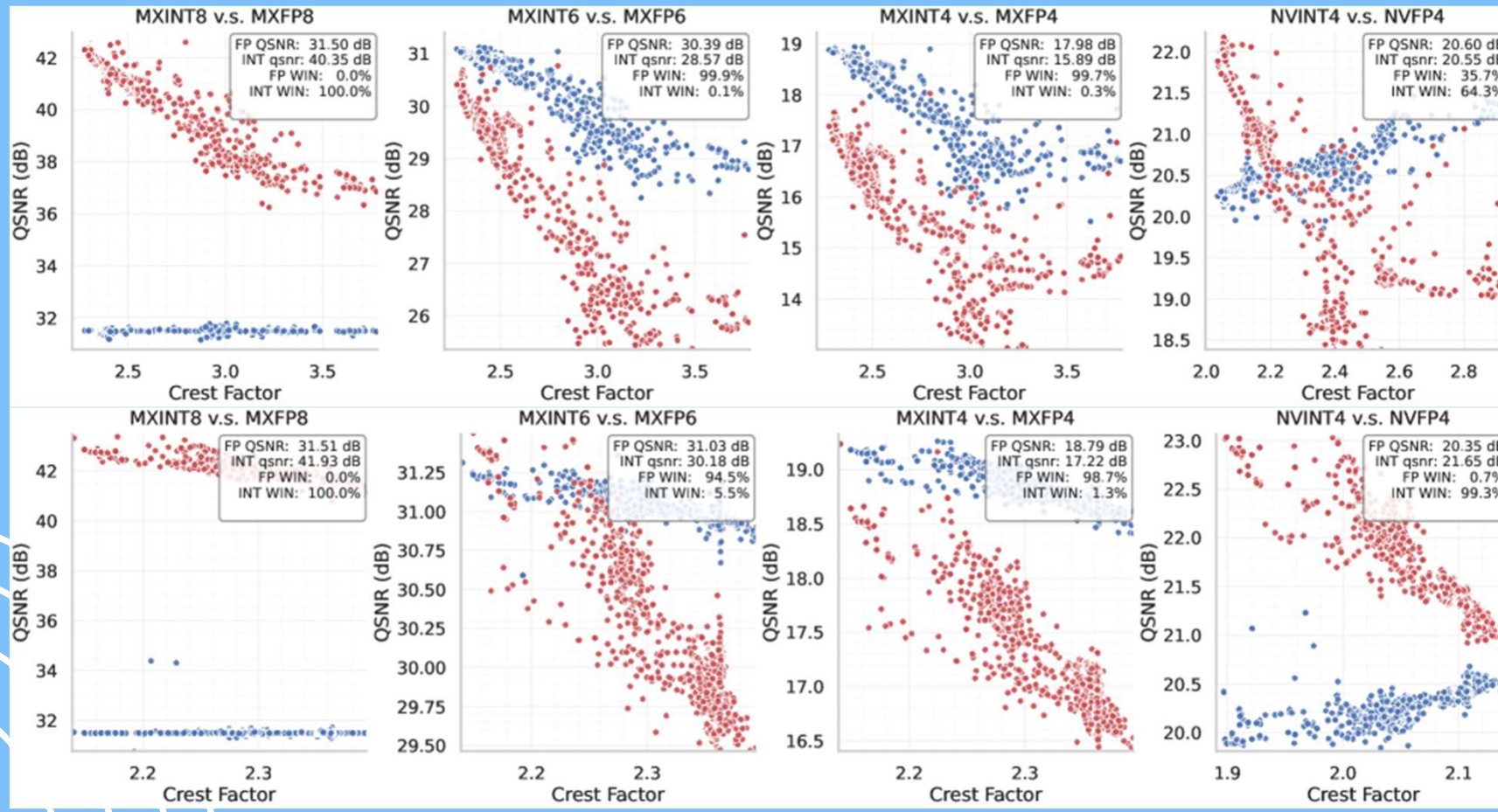
- Understanding the Graph (Figure 3)
 - INT (실선): k 가 작을수록 QSNR 급상승.
 - FP (점선): k 에 상관없이 일정 수준 유지.
- Crossover Point Found:
 - Case 1 (8-bit): $k < 7.55$ 이면 INT8 > FP8.
 - 실제 LLM 텐서는 $k \approx 2.96 \rightarrow$ INT8 압승.
 - Case 2 (4-bit): 기본적으로는 FP4 > INT4.
 - However: Hadamard Rotation 적용 시 k 감소 \rightarrow INT4 > FP4 역전 발생.
- Conclusion: Block-wise Quantization(= 작은 k) 환경에서는 INT가 FP보다 우월하다.



실제 데이터 분석 (Real-Data Analysis)

- Crest Factor (k) 분석 (Boxplot):
 - Coarse-grained (Per-channel): $k \approx 11.97$ >> 교차점 → FP 우세
 - Fine-grained (Block-wise): $k \approx 2.96$
 - $2.96 < 7.55 \rightarrow \text{MXINT8 승리.}$
 - $2.96 > 1.96 \rightarrow \text{MXINT6/4 패배}$
 - Rotation Effect: k를 2.96 → 2.39로 감소시킴
 - NVINT4가 NVFP4를 역전하는 계기 마련.
 - QSNR 측정 결과:
 - MXINT8 vs MXFP8: 평균 40.35dB vs 31.50dB → INT8 압승.
 - NVINT4 vs NVFP4: Rotation 적용 시 INT4 승리 ($21.65\text{dB} > 20.35\text{dB}$).

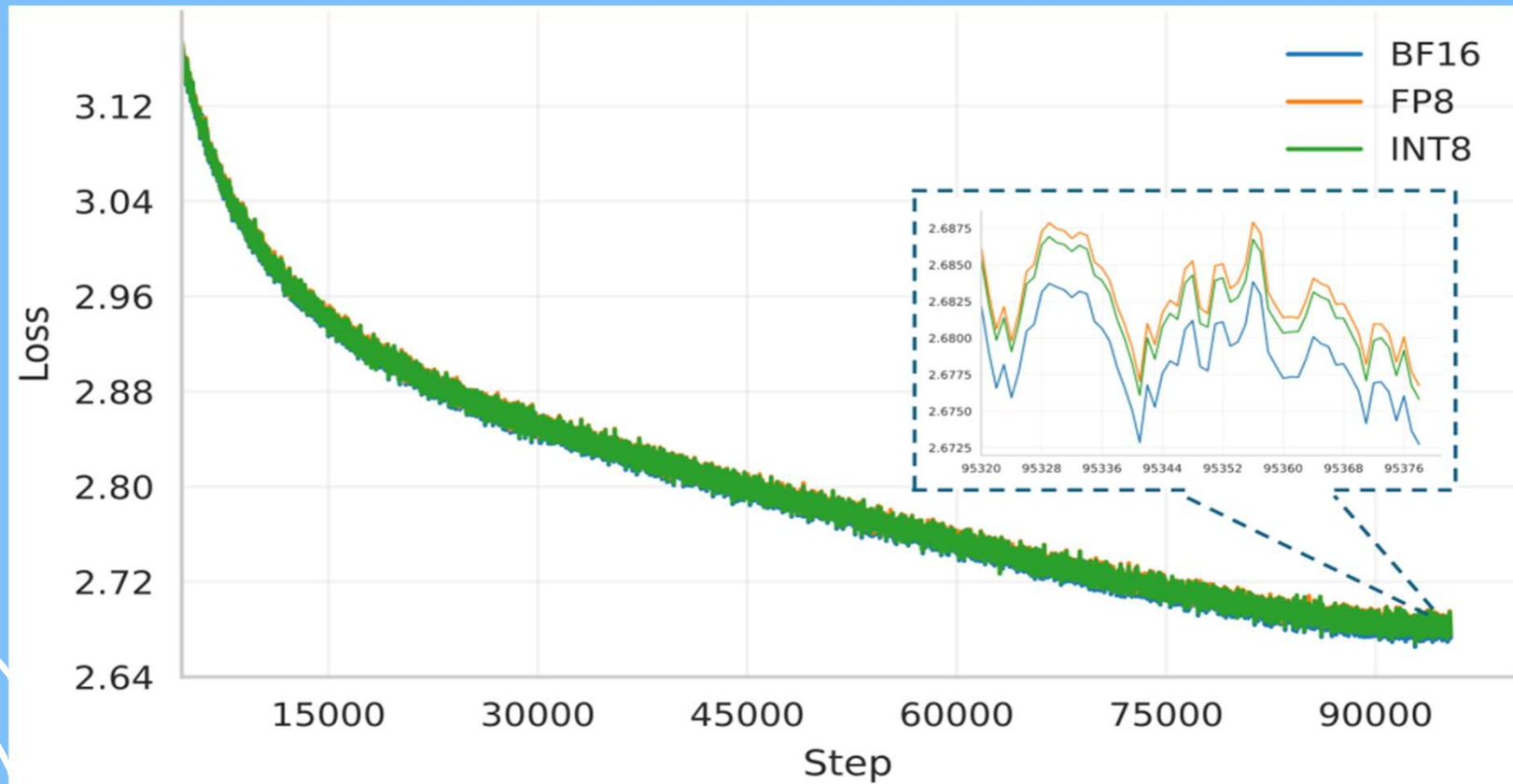
실제 데이터 분석 (Real-Data Analysis)



추론 및 학습 성능

- Inference Results (12 Models):
 - **Original:** MXINT8 (12/12 Win). Others lose.
 - **w/ Rotation:** **MXINT8 & NVINT4 (12/12 Win).**
- Training Results (Llama-3 1B/3B):
 - Loss Curve: MXINT8 \approx BF16 (Fully overlaps).
 - **Accuracy:** MXINT8 achieves BF16-level accuracy on downstream tasks
 - **Comparison:** MXINT8 shows slightly lower loss (-0.001) than MXFP8

추론 및 학습 성능



하드웨어 비용 및 결론

- Hardware Efficiency (vs FP):
 - **MXINT8:** Energy **-37%**, Area **-21%**.
 - **NVINT4:** Energy **-66%**, Area **-62%**.
- Conclusion:
 - Myth Busted: "FP is always better for outliers" is false in fine-grained quantization
 - Winner: MXINT8 (Accuracy + Efficiency)
 - Proposal: Prioritize Fine-grained INT formats for future AI accelerators

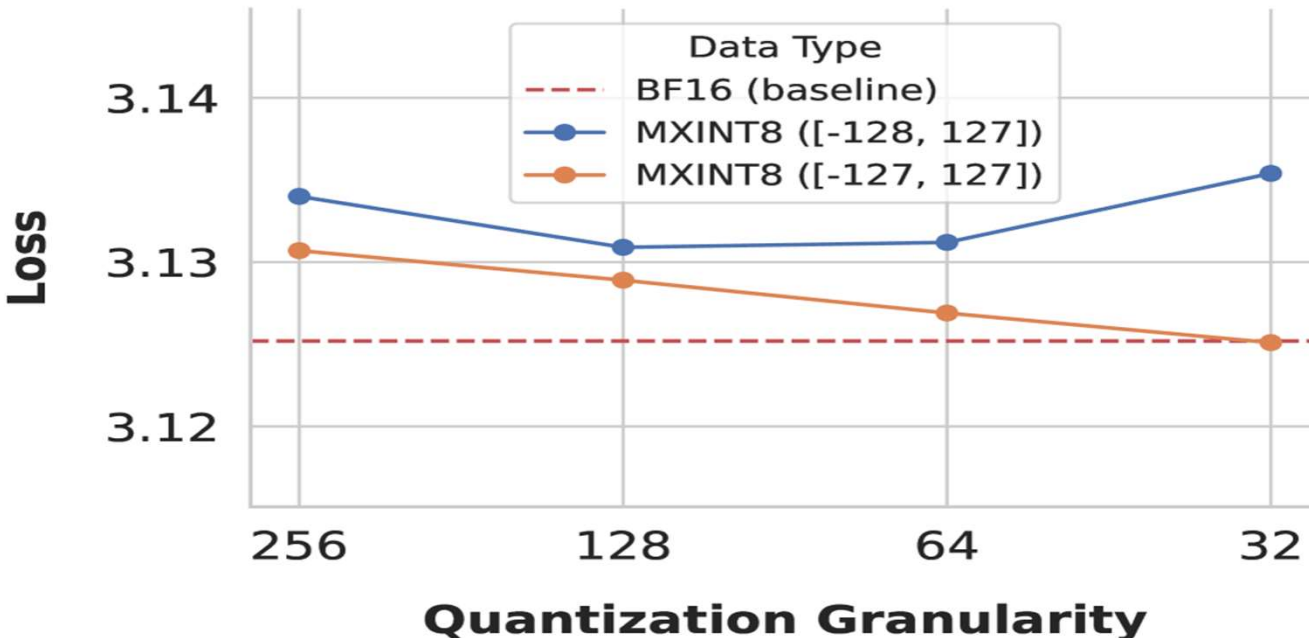
하드웨어 비용 분석 (Hardware Cost Analysis)

- 1. Single-Format Efficiency (표 5 참조):
 - **MXINT8**: MXFP8 대비 에너지 **37%** 절감
 - **NVINT4**: NVFP4 대비 에너지 **38%** 절감
- 2. Mixed-Format Efficiency (Blackwell Style):
 - Setup: NVIDIA Blackwell처럼 8-bit와 4-bit를 모두 지원하며, 처리량 비율을 1:2로 설정
 - Result: "MXINT8 + NVINT4" 구성이 FP 조합 대비 면적 34% 추가 절감
- 3. Why? (이유)
 - INT 파이프라인의 회로 재사용(Circuit Reuse) 구조가 FP보다 훨씬 단순하기 때문.
 - FP는 지수/가수 정렬, 정규화 등 복잡한 로직이 필요함.

	Single Format				Mixed Format	
	MXFP8	MXINT8	NVFP4	NVINT4	MXFP8+NVFP4	MXINT8+NVINT4
Energy	1x	0.63x	0.55x	0.34x	1x	0.75x
Area	1x	0.79x	0.54x	0.38x	1x	0.66x

결론 및 제언

- Final Verdict:
 - Coarse-grained: FP Wins
 - Fine-grained (Block-wise): INT Wins ($\text{MXINT8} > \text{MXFP8}$)
 - 4-bit: $\text{NVINT4} > \text{NVFP4}$ (with Hadamard Rotation)
- Call to Action:
 - Challenge the current FP-centric trends (e.g., Blackwell).
 - Proposal: Shift towards Fine-grained INT Co-design for next-gen AI accelerators.



- FP는 변환 오버헤드와 정밀도 손실이 있고, LLM에서의 outlier를 완벽히 해결하지 못합니다.
- LLM의 실제 $\kappa \approx 3$ 에서는 MXINT8이 MXFP8을 압도합니다. 4-bit에서도 rotation 적용 시 NVINT4가 역전합니다.”
- 정확도가 더 좋은 데다가 칩 크기와 전력까지 20~60% 절감. FP 기반 가속기보다 INT 기반 아키텍처가 더 경제적입니다.”

	Single Format				Mixed Format	
	MXFP8	MXINT8	NVFP4	NVINT4	MXFP8+NVFP4	MXINT8+NVINT4
Energy	1x	0.63x	0.55x	0.34x	1x	0.75x
Area	1x	0.79x	0.54x	0.38x	1x	0.66x

